

Возможность более широкого использования указанных распределений для исследования МВР является, как нам представляется, следствием прежде всего общезначимости принципа ограниченности роста макромолекул, положенного в основу их вывода.

## Выводы

1. Данна математическая модель линейной поликонденсации, на основании которой выведены дискретные и непрерывные функции распределения макромолекул по степеням полимеризации.

2. Показано, что полученные непрерывные функции распределения достаточно хорошо аппроксимируют соответствующие дискретные функции.

3. Обсуждены вопросы практического применения полученных функций для исследования МВР продуктов реакций.

Институт элементоорганических соединений  
АН СССР

Поступила в редакцию  
24 V 1971

## ЛИТЕРАТУРА

- Г. Б. Шалтупер, Высокомолек. соед., А14, 811, 1972.
- P. J. Flory, J. Amer. Chem. Soc., 58, 1877, 1936.
- P. J. Flory, Chem. Rev., 39, 137, 1946.
- P. J. Flory, Principles of Polymer chemistry, Ithaka, N. Y., 1953.
- С. Я. Френкель, Введение в статистическую теорию полимеризации, изд-во «Наука», 1965.

УДК 541.64:620.183

## О СХОДСТВЕ СТРУКТУРЫ БЛОЧНЫХ ОБРАЗЦОВ И ТОНКИХ ПЛЕНОК ОРИЕНТИРОВАННЫХ КРИСТАЛЛИЧЕСКИХ ФТОРПОЛИМЕРОВ

*Е. Л. Гальперин, Б. П. Космынин, В. Ф. Миндрул*

Тонкие пленки толщиной менее 1000 Å являются наиболее удобными объектами для совместного электронно-микроскопического и электронографического исследования структуры кристаллизующихся полимеров. В последние годы были изучены структурные изменения при ориентационной вытяжке таких пленок ряда полимеров: полиэтилена (ПЭ) [1–4], полиэтилентерефталата [5], полиоксиметилена [6], поливинилиденфторида (ПВФ<sub>2</sub>) [7, 8] и сополимера винилиденфторида (ВФ<sub>2</sub>) с тетрафторэтиленом (П(ВФ<sub>2</sub> – ТФЭ)) [9].

Возникает вопрос, насколько данные, полученные при исследовании тонких пленок, могут быть использованы для описания механизма деформации и структуры ориентированных блочных образцов соответствующих полимеров? По мнению Джейла [1], многие данные, полученные при изучении деформации тонких пленок ПЭ, хорошо согласуются с результатами малоуглового рентгеновского исследования блочных образцов, что дает основание воспользоваться этими данными для объяснения механизма де-

формации блочного ПЭ. Более осторожной позиции придерживается Кабаяши [4], показавший, что имеются количественные различия в деформации тонких пленок и блочных образцов ПЭ, обусловленные разным расположением напряжений в этих образцах. Наиболее подробно данный вопрос был рассмотрен в работах Петерлина [3, 10, 11], который показал, что механизм деформации и конечная структура ориентированных блочных образцов и тонких пленок ПЭ имеют много общего. В то же время, он обнаружил, что в отличие от блочных образцов в ориентированных тонких пленках ПЭ величина большого периода  $d$  не зависит от температуры растяжения  $T_p$ . По нашим же данным, величина  $d$  в ориентированных тонких пленках ПВФ<sub>2</sub> [8] и П(ВФ<sub>2</sub>—ТФЭ) [9] зависит от  $T_p$ .

Следует отметить, что в рассмотренных выше работах вопрос о сходстве или различии структуры ориентированных тонких пленок и блочных образцов решался в основном качественно. Лишь в [7] была предпринята попытка количественного сравнения величины большого периода в тонких и толстых (20–30 мк) пленках ПВФ<sub>2</sub>, подвергнутых растяжению и последующему отжигу в аналогичных условиях. Однако обработка пленок велась раздельно и все они были получены из раствора.

В данной работе приведены результаты совместного электронно-микроскопического, электронографического и рентгеновского исследований структуры ориентированных тонких пленок и блочных образцов ПВФ<sub>2</sub> и П(ВФ<sub>2</sub>—ТФЭ) с целью получения для них сравнительных количественных характеристик надмолекулярной структуры. Выбор этих полимеров обусловлен следующим: а) в тонких ориентированных пленках ПВФ<sub>2</sub> и П(ВФ<sub>2</sub>—ТФЭ) удалось наблюдать и количественно оценить большие периоды как электронно-микроскопически, так и электронографически [7–9]; б) численные значения  $d$  в этих полимерах существенно различны.

### Экспериментальная часть

Использовали ПВФ<sub>2</sub>, полученный путем химической полимеризации, молекулярного веса 1,6·10<sup>5</sup> и П(ВФ<sub>2</sub>—ТФЭ) молекулярного соотношения ~2,5:1 и молекулярного веса 1–2·10<sup>5</sup>. Из порошков горячим прессованием при давлении 100 атм и температурах 200° (ПВФ<sub>2</sub>) и 190° (сополимер) готовили пластины, из которых штампом вырубали образцы в виде лопаток. Тонкие пленки обоих полимеров готовили из 0,2–0,3%-ных растворов в циклогексаноне. Образцы ПВФ<sub>2</sub> растягивали при 125° в печи, температура которой поддерживалась постоянной с точностью +2°; образцы П(ВФ<sub>2</sub>—ТФЭ) — при комнатной температуре. Кратность вытяжки всех образцов ~4. Раствинутые пленки и блочные образцы отжигали в закрепленном состоянии совместно в печи при 158 (ПВФ<sub>2</sub>) и 140° П(ВФ<sub>2</sub>—ТФЭ) в течение 5 час. и затем охлаждали вместе с печью. Методики растяжения и отжига тонких пленок и исследования их в электронном микроскопе в различных режимах (электронно-микроскопическом и электронографическом в больших и малых углах) даны в [7–9]. Аппаратура и методики рентгеновского исследования блочных образцов в больших и малых углах описаны в [12].

### Результаты эксперимента и их обсуждение

Сравним сначала вид дифракционных картин тонких пленок и блочных образцов исследуемых полимеров (рис. 1) и морфологию (рис. 2), соответствующих образцов П(ВФ<sub>2</sub>—ТФЭ), дающих более четкую электронно-микроскопическую картину, чем образцы ПВФ<sub>2</sub>.

Из рис. 1, а видно, что блочные образцы ПВФ<sub>2</sub> содержат в основном кристаллиты β-формы, цепи в которых ориентированы вдоль оси вытяжки, и незначительное количество α-кристаллитов. На электронограммах тонких пленок (рис. 1, б) интенсивность рефлексов α-формы, как правило, еще ниже. Известно [12], что соотношение кристаллитов обеих форм в ПВФ<sub>2</sub> определяется температурой и степенью вытяжки. Тот факт, что оно существенно не отличается в рассматриваемых образцах уже до некоторой сте-

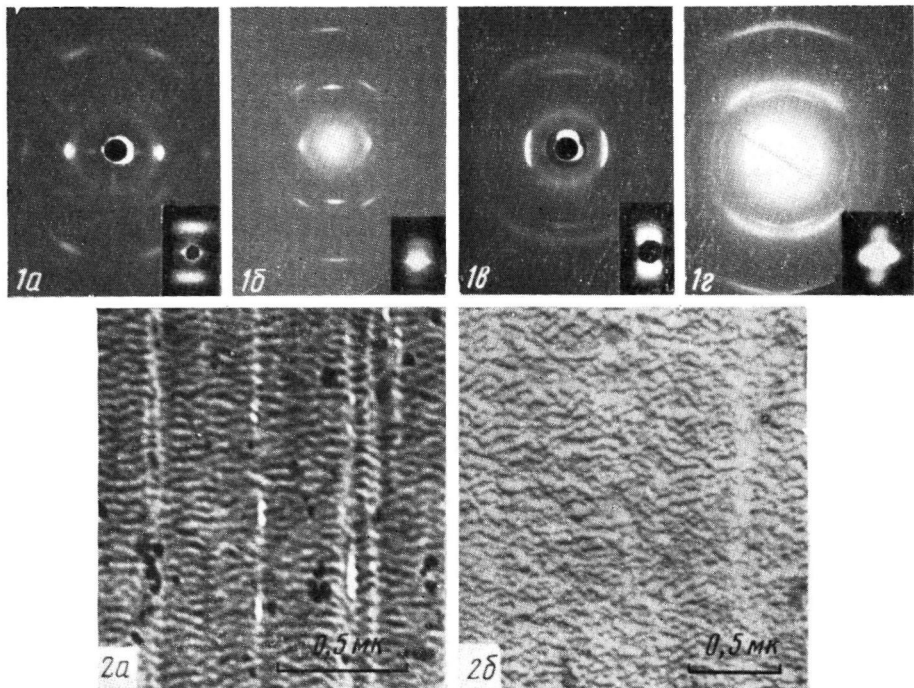


Рис. 1. *a* — Рентгенограммы блочного образца; *b* — электронограммы тонкой пленки ПВФ<sub>2</sub> в больших и малых углах; *c, d* — то же для П(ВФ<sub>2</sub> — ТФЭ). Растворение на 400% при 125 (*a, b*) и 20° (*c, d*); отжиг 5 час. при 158 (*a, b*) и 140° (*c, d*)

Рис. 2. Электронные микрофотографии тонкой пленки (*a*) и реплики с блочного образца П(ВФ<sub>2</sub> — ТФЭ) (*b*). Растворение на 400% при 20°; отжиг 5 час. при 140°

пени указывает на сходство процесса ориентационной вытяжки в блочных образцах и тонких пленках ПВФ<sub>2</sub>. Вид малоуглового рефлекса на электроно- и рентгенограммах исследованных образцов ПВФ<sub>2</sub> (штрих на меридиане) также одинаков.

Аналогичное совпадение дифракционных картин на рентгено- и электронограммах в больших и малых углах наблюдается и для П(ВФ<sub>2</sub>-ТФЭ) (рис. 1, в, г). В отличие от ПВФ<sub>2</sub> малоугловые рефлексы здесь шаровой

формы, а кристаллографическая ось *c* и соответственно цепи наклонены относительно оси текстуры на  $\sim 15^\circ$ .

Морфология тонких пленок и блочных образцов П(ВФ<sub>2</sub>-ТФЭ) в общем сходна (рис. 2) и характеризуется наличием четко выраженных ламелей, образующих периодичность вдоль направления вытяжки. Именно такая надмолекулярная структура в виде слоев должна давать шаровые малоугловые рефлексы [13].

По положению максимума на малоугловых электроно- и рентгенограммах (рис. 1) определяли среднюю экспериментальную величину большого периода  $d_{\text{ср}}$  и  $d_p$ . Величину большого периода в тонких пленках определяли также по электронным микрофотографиям как среднее расстояние между кристаллитами в направлении ориентации  $d_{\text{эм}}$ . Кроме того, на микрофотографиях измеряли среднюю толщину кристаллита — ламелли  $L_{\text{эм}}$ . Размер кристаллитов в блочных образцах в том же направлении  $L_p$  определяли из размытия меридиональных рефлексов в больших углах. Малоугловые рентгеновские данные обрабатывали по методу Цванкина [14, 15]. Использовали две функции распределения длин аморфных прослоек вдоль оси текстуры

$$H_1 = B_1 \exp(-x/l) \quad \text{и} \quad H_2 = B_2 \exp[-B_3(x-l)^2],$$

где  $B_1$ ,  $B_2$  и  $B_3$  — постоянные, а  $l$  — средняя длина аморфного промежутка [15]. Этим же методом с помощью градуировочных графиков определяли величину истинного большого периода *c* и размеры кристаллитов вдоль оси текстуры  $a = c - l$ .

Полученные из измерений и расчетов данные приведены в таблице (все величины даны в ангстремах). Значения  $d_{\text{ср}}$  и  $d_{\text{эм}}$  в тонких пленках для обоих полимеров в общем согласуются между собой. Следует отметить, что точность определения этих параметров в исследуемых полимерах неодинакова. В ПВФ<sub>2</sub> точнее можно определить  $d_{\text{ср}}$ , тогда как в П(ВФ<sub>2</sub>-ТФЭ) —  $d_{\text{эм}}$ . Из таблицы видно, что  $d_p$  для обоих полимеров на 10–15% больше, чем  $d_{\text{ср}}$  и  $d_{\text{эм}}$ . Однако если вместо  $d_p$  использовать величину истинного большого периода *c* для функции  $H_2$ , то большие периоды в блочных образцах и тонких пленках оказываются близкими. Хорошее совпадение в этом случае наблюдается между величинами  $L_{\text{эм}}$  и  $a$  (220 и 230 Å). Размеры кристаллитов, вычисленные из размытия меридиональных рефлексов ПВФ<sub>2</sub> и П(ВФ<sub>2</sub>-ТФЭ), также ближе к значениям *a*, полученным при использовании функции  $H_2$ .

По-видимому, причиной увеличения  $d_p$  по сравнению с  $d_{\text{ср}}$  и  $d_{\text{эм}}$  является тот факт, что в рентгеновской дифракции от блочного образца участвует значительно большее количество кристаллитов, чем в дифракции электронов от тонкой пленки. В результате этого, за счет статистической функции

Большие периоды и размеры кристаллитов ориентированных образцов ПВФ<sub>2</sub> и сополимера П(ВФ<sub>2</sub>—ТФЭ)

| Образец         | Характеристика надмолекулярной структуры | ПВФ <sub>2</sub> | П(ВФ <sub>2</sub> —ТФЭ) |
|-----------------|--|------------------|-------------------------|
| Блочные образцы | $d_{\text{ср}}$                          | $119 \pm 5$      | $360 \pm 25$            |
|                 | $d_{\text{эм}}$                          | $100-140$        | $380 \pm 20$            |
|                 | $L_{\text{эм}}$                          | $60-80$          | $220 \pm 20$            |
|                 | $d_p$                                    | $132 \pm 3$      | $420 \pm 20$            |
|                 | $c \}$                                   | $120$            | $375$                   |
|                 | $a \}$                                   | $78$             | $230$                   |
|                 | $c \}$                                   | $141$            | $490$                   |
|                 | $a \}$                                   | $99$             | $310$                   |
|                 | $L_p$                                    | $75$             | $160$                   |
|                 |  |                  |                         |

распределения проходит сдвиг малоуглового рефлекса в сторону меньших углов, что и приводит к увеличению  $d_p$ . Следует отметить, что для ПЭ в отличие от исследованных нами фторполимеров лучшие результаты дает использование функции  $H_1$  [16].

Авторы искренне благодарны Д. Я. Цванкину за ценные замечания, сделанные им при чтении рукописи.

### Выводы

Показано, что в ориентированных тонких пленках и блочных образцах ПВФ<sub>2</sub> и П(ВФ<sub>2</sub>—ТФЭ), подвергнутых идентичной обработке, конечная кристаллическая и надмолекулярная структуры сходны. Величины больших периодов и размеры кристаллитов в направлении оси текстуры в этих образцах совпадают при обработке малоугловых рентгеновских данных по методике, основанной на использовании статистических функций распределения.

Поступила в редакцию  
28 V 1971

### ЛИТЕРАТУРА

1. G. S. Yeh, P. H. Geil, J. Macromolec. Sci., B2, 29, 1968.
2. P. Ingram, A. Peterlin, J. Polymer Sci., B2, 739, 1964.
3. K. Sakaoku, A. Peterlin, Makromolek. Chem., 108, 234, 1967.
4. K. Kabayashi, T. Nagasawa, J. Polymer Sci., C15, 163, 1966.
5. G. S. Yeh, P. H. Geil, J. Macromolec. Sci., B1, 251, 1967.
6. K. O'Leary, P. H. Geil, Makromolek. Chem., 118, 77, 1968.
7. Е. Л. Гальперин, В. Ф. Миндрул, Высокомолек. соед., Б11, 697, 1969.
8. Е. Л. Гальперин, В. Ф. Миндрул, В. К. Смирнов, Высокомолек. соед., А12, 1949, 1970.
9. Е. Л. Гальперин, В. Ф. Миндрул, Кристаллография, 16, 999, 1971.
10. A. Peterlin, S. Sakaoku, J. Appl. Phys., 38, 4152, 1969.
11. A. Peterlin, J. Polymer Sci., C18, 123, 1967.
12. Б. П. Космынин, Е. Л. Гальперин, Д. Я. Цванкин, Высокомолек. соед., А12, 1254, 1970.
13. В. И. Герасимов, Д. Я. Цванкин, Высокомолек. соед., А11, 2652, 1969.
14. Д. Я. Цванкин, Высокомолек. соед., 6, 2078, 2083, 1964.
15. Д. Я. Цванкин, Диссертация, 1970.
16. Д. Я. Цванкин, Я. А. Зубов, А. И. Китайгородский, J. Polymer Sci., C16, 4081, 1968.

---

УДК 541.64:547(82+36)

## СОПОЛИМЕРИЗАЦИЯ ВИНИЛАЦЕТАТА С ХЛОРГИДРАТОМ 2-МЕТИЛ-5-ВИНИЛПИРИДИНА В ПРИСУТСТВИИ АЦЕТИЛАЦЕТОНАТА Mn<sup>3+</sup>

**А. Ф. Николаев, Л. Д. Ловягина, Н. В. Мейя**

Сополимеризация винилацетата (ВА) с 2-метил-5-винилпиридином (МВП) изучена мало, так как эти соединения плохо сополимеризуются в присутствии обычных инициаторов радикального типа. Вычисленные нами на основании литературных данных [1] значения констант сополимеризации оказались для ВА и МВП  $r_1 = 0$ ,  $r_2 = 30$  соответственно.

Одним из перспективных способов изменения активности мономеров при сополимеризации является введение различных добавок, которые могут образовывать комплексные соединения с реакционноспособными мономерами. В работе [2] показано, что при переходе от МВП-основания к его солевой форме активность и электронная плотность двойной связи значительно меняются. Активность ВА также может быть изменена путем ком-